

再び珪素鋼板に就て

(主として變壓器用鋼板)

中島道文*

SECOND REPORT ON THE ELECTRICAL SHEET WITH SPECIAL REFERENCE TO TRANSFORMER SHEETS

Michibumi Nakajima.

The common method of manufacturing electrical sheets was dealt with in the Journal, Iron and Steel Institute, Japan, Vol. XX, No. 1. Since then, the electrical sheet has been studied well in Europe and the United States, and they have produced some sheets which were excellent in their electric and magnetic properties. Nowadays when transformers of higher capacity are being in demand, we naturally expect more and more superior electrical sheets with the higher flux density and the less iron loss. The present paper deals with the development and manufacturing methods of the transformer sheet in Europe and the United States as well as the actual practice in Japan together with part of the experiments conducted by the author. Then, the possible and commercial method of manufacturing excellent electrical sheets with least iron loss were also referred to.

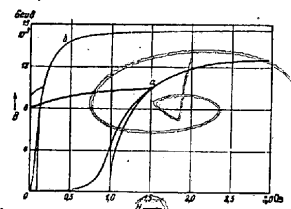
1. 緒 言

電動機、變壓器其他一般回轉子用珪素鋼板の製造法に就いては既に鐵鋼協會誌第20年第1號に記述した。此の鋼板に就いては各國に於ても既に研究され種々貴重なる論文の發表あり、製品に於ても特に變壓器用鋼板は歐米のもの非常に優秀なるもの製造されつゝあり。翻て本邦の現況を見るに技術も進歩し逐次品質の改良も行はれ成績も向上してゐるも歐米品に比する時未だ遜色あるは甚だ遺憾なり。弊社に於ても製造の傍、絶えず研究に専念し技術的改良發展と製品々質の向上に努力し、如何にして優秀なる鋼板を得るや極力研究中なり。今此處に歐米に於ける發達經路及び現況と本邦製品との比較をなし、更に優秀なる鋼板を得んが爲に製造工程に於て特に考慮すべき二三の要點を記述し御参考に供し御指導を仰がんとす。

2. 歐米に於ける珪素鋼板發達經路

炭素の少き瑞典の木炭鐵は1900年頃迄全般に使用されたるが變壓器用鐵心としての唯一の要求たる交流磁化に於ける勢力損失が出来るだけ少い事と出来るだけ最大導磁率の大きい事(即ち出来るだけ抗磁力の小さき事)等の磁氣的性質悪く即抗磁力は約1 oerstedであり、ヒステレスループの面積は最大1000 gaussのとき 3000 erg/cm^2 なり。(強電用磁性材料の特性を示すのに屢々ループが10,000又は15,000 gaussに達する50~の交流に對する1匝當り

第1圖
純鐵の磁化曲線及び誘導曲線

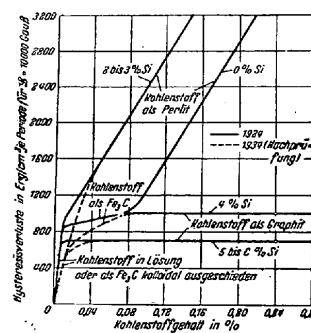


Die Neukurve und die Hystereseschleife bei 10,000 Gauss Aussteuerung für Armeec-Eisen mit 0,1% Verunreinigungen (C), und einer durch Glühen im Vakuum hergestellten Reinigungsprobe von P. YENSEN mit 0,01% Verunreinigungen (O). (Nach P. YENSEN, entnommen aus F. BRÜTER: Theory of Ferromagnetism, London u. New York 1917.)

の損失を watt にて示して用ひ此の數値を V_{10} 及び V_{15} にて示す。此の損失の一部は渦流によるものなるが是れは原理的には鐵心を充分薄くすることに依り幾らにても少くし得るも餘り薄き時は占積率低下し且つは生産費も非常に高價にのぼる故一般には厚みは 0.35 mm に限られ居れり。面積 $\phi H dB = 1,000 \text{ erg/cm}^2$ なるヒステレスループは 50~ に於て 0.64 W/kg (比重 = 7.8 g/cm^3 として) のヒステレス損に相當す。

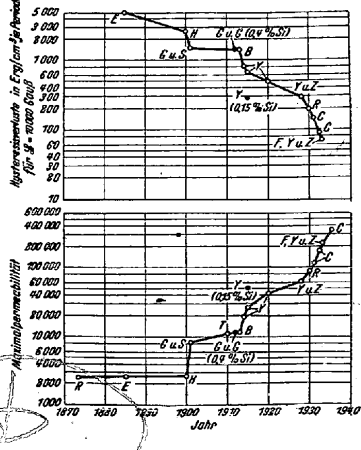
此の磁氣的性質の香しからざるは全く其の不純物の爲なり。鐵中に於ては特に炭素と酸素は有害なり。炭素は 0.01% 以下にても磁氣的性質に大なる影響を與ふるなり(第1,

第2圖 炭素の珪素鋼の磁氣性質に及ぼす影響



Yensen und N. A. Ziegler: Trans. Amer. Soc. Met., 24 (1926) S. 337.

第3圖 各研究者により發表されたる純鐵の磁氣性質の改善



* 川崎重工業株式會社製鉄工場

2, 3, 圖). 是れは Yensen と其の協力者の長期に亘る実験と、又一方 Cioffi の実験とに依り C 及び O_2 の最後の一萬分の幾何迄除かれたる鐵により確められたり。Yensen は高真空中にて赤熱する時は O_2 と C が結合し CO ガスとなり排出さるゝ様に C の量を加減して加へる方法をとりたり。Cioffi は之れに反し充分精製したる H_2 中にて長時間赤熱する方法を探りたり。斯して得たる現在の記録値は $\mu_{max} = 280,000$, 10,000 gauss に於けるヒステレシス損は 70 erg/cm^3 なり。

Cioffi の試料の最良のものは尙是れを凌駕し抗磁力の最小値として $Hc = 0.025 \text{ oersted}$ を得たるが、實際製鐵所にて斯かる純度に達し得ざる故意味なし。更に其他不純物の除去により電氣抵抗は非常に減す。50 ~ に於ける鐵損の内ヒステレシス損は 0.045 W/kg なるが渦流損は 0.35 mm 厚みの鐵板にて約 0.7 W/kg に達するなり。總鐵損失値は現在既に珪素合金鋼板により著しく低下せしめられたり。

約 30 年前より現在迄變壓器の鐵心として殆んど全部 $Fe-Si$ 合金が使用され來れり。此の合金に就き詳細なる研究をなしたるは Barret, Brown, Hadfield にて 1900 年に發表したり。然し是れの交流機器に適するを認め大量

生産の實驗をなしたるは獨逸の Gumlich なり。1903 年より 1907 年の 4 年間に初期の種々なる困難を開闢し一般に使用さるゝに至れり。

Gumlich は初めこの改良は主として高電氣抵抗にありと信じたり。珪素 2.5 % を含む時は抵抗は純鐵の數倍になり（第 4 圖参照）事實上ヒステレシス損も C の少き通常の鐵よりも少くなるなり。

此の改良は二つの原因より生じたものと思はる。即第一には Si は熔解状態にて O_2 と結合し SiO_2 を作り之れは表面に集りてスラッジとなり取去らる。第二には Si は鐵中の C を Fe_3C の形になしおかず C を單なるグラファイトとして析出せしめる。是れは磁氣的には極めて害の少なきものなり。 Si 量の增加につれ脆性を増加する故 4% Si 以上の原料は技術的に使用されず、又損失係数の餘り問題にならざる處にては Si 4 % 以下のものを主に使用するなり。

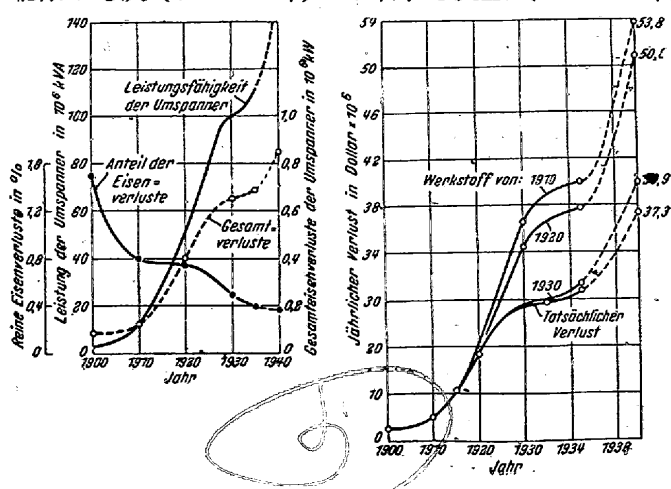
第 5 圖は Yensen の報告より採りたるものなるが過去 30 年間に $Fe-Si$ 鐵板の鐵損失減少に對する進歩を示すものなり。（第 6, 7 圖参照）

最上の曲線は市場品につき得られたる 60 サイクルに於ける總損失 V_{10} の最少値を示す。最後の二點は再結晶構造の鐵板の値なり。是れは最近米國に於て Hipersil の名にて市販化され居れり。第二曲線は上の總損失中のヒステレシス損失分を表す。其の差が渦流損失を表すなり。最下の曲線は研究室にて得られたるヒステレシス損の最小値なり。圖に明かなる如く研究室の結果と市場品との差は近年かなり接近し來りたり。

第 8 圖に北米合衆國の 1900 年より 1940 年の變壓器の容量と全變壓損失及び其損失中の鐵損の部分を示したり。

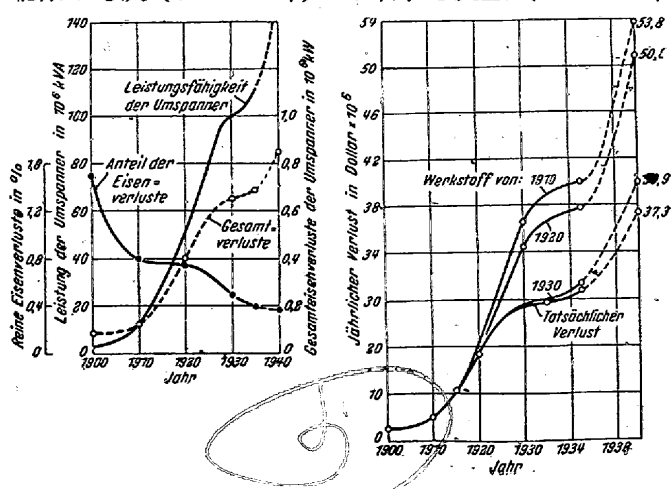
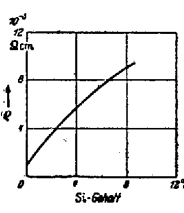
第 8 圖

北米合衆國に於ける變壓器の能力及び損失（1900—1940 年）



第 9 圖

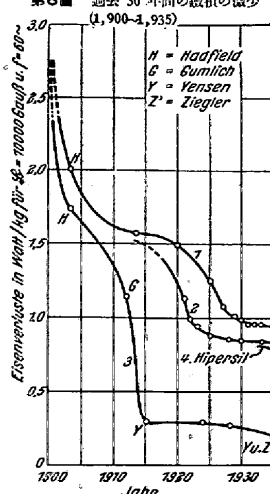
北米合衆國に於ける變壓器による年間の損失額（1900—1935 年）

第 4 圖 $Fe-Si$ 合金の比抵抗

第 5 圖 過去 30 年間の產素鋼板の改良経過

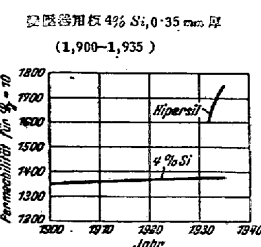


第 6 圖 過去 30 年間の鐵損の減少（1,900—1,935）



Kurve 1 — Eisenverluste handelsüblicher, warm gewalzter Unterpanterscheiben von 0.35% Stahl, aus dem Wasserstrom entnommen und geprüft.
Kurve 2 — Eisenverluste warm gewalzten, in der Versuchshandlung hergestellten Blechen von 0.35 % Stahl, in Wasserstrahl geprüft.
Kurve 3 — Hystereseverlust von Laboratoriumsproben mit 3 bis 4.5% Si in Form von Ringen und Stäben.

第 7 圖 每枚単改良の経過



電器用板 4% Si, 0.35 mm 厚

(1,900—1,935)

第9圖は $1kWh$ を 0.5 セントとして 1 ケ年間の Watt loss を金額で示したものなり。變壓器用鐵板の改善により 1935 年には 1910 年に對して約 800 萬弗が節約された。改善の行はれ始めたる 1920 年以降の合衆國に於ける全節約額は約 6,000 萬弗に達し年額平均 400 萬弗になれる。現在米國に於ける電氣機械は特別の磁氣性質の材料 150 萬噸より成り其れに對し年々 15 萬噸が新造され居る。是れは鋼板販賣價格の約 5 %を占め其の約 1/3 は變壓器に用ゐらる。合衆國に現存する變壓器の全年間出力は $100 \times 10^{12} kWh$ に達す。即ち鐵板の品質の向上改善による節約額は巨額に達す。獨逸にて變壓器用鐵心のみにて大略 50 萬噸の鐵板が使用され居るが今鐵心の鐵損を 10 % 減じ得たりとせば其の勢力節約額は年當り $10^8 kWh$ に達するなり。改良されたる結果が如何に小さとも夫れにより得らるゝ節約は巨額に達する故に資源節約の折柄是れが改善發達は非常に重大なる意義を有するなり。

變壓器の設計及び製作の技術の進歩發達に伴ひ磁束密度を充分高くして材料の節約を圖る事が極度に要求せらるゝ。今日、此の鐵板の品質の改良は最も緊要なることにして現在の變壓器に於ては鐵心磁束密度の增加に對する鐵損増加の割合は磁束密度約 $13 k\text{-gauss}$ 附近を境にして急に上昇す。一般に磁束密度が是れより高くなれば鐵損増加の割合は激しくなり、B の約 2.5 乘前後に比例して増加するものゝ様なり。此の原因は一面變壓器鐵心の設計工作にも關係し鐵板固有の特性のみに基因するものとは斷じ得ざるもの然し鐵板自身にも此の傾向あり。材料節約の爲には鐵板は一般に高磁束密度にて使用せらるゝ傾向に向ふものなる故即變壓器は $B=14,000$ 前後、回轉機にては $B=18,000$ 以上にて使用せらるゝ今日高磁束密度に於ける鐵損の減少は甚だ重要なことなり。現在の變壓器の設計に於て磁束密度は $13 \sim 14.5 k\text{-gauss}$ 程度に採りゐるが、之を鐵板の特性向上により假りに 5 %増加し得たとしたる場合諸材料及び特性に及ぼす影響を見るに、特性向上の程度は 5 %の磁束密度増加により勵磁電流の増加及び波形の變歪は實用上支障なく又鐵損は現在の鐵板を用ひたる場合の 80 %に減少するものと假定す。即ち現在の磁束密度で現在の鐵板を用ひたる場合の鐵損を 100 %とすれば磁束密度を 5 %増した場合の鐵損は約 113 %となり之れが 80 %に減少すれば $113 \times 0.8 = 90 %$ に減少することとなるなり。磁束密度を 5 %増加せしむるには鐵心斷面積を 5 %減少する方法と卷線の卷回數を 5 %減少する方法とあるが現今最も節約を必要

とするは銅なる故先づ鐵心斷面積は其まゝとし卷回數を 5 %減少する方法を探ることゝせば之れにより導線の總延長は 95 %に減少す。前述の如く鐵損が 90 %に減少する故其代りに銅損は多少増加するも差支へなしと考へ導線斷面積を 3 %減少し電流密度を増加せしめれば之れにより銅損は $95 \times 1.03 = 101 %$ となり、總損失の變化は銅損と鐵損の比により異なるが、假りに此の比が 1 なれば 95.5 %に減り、2 なれば 97.3 %に減少す。斯様に總損失が減する爲油の溫度は幾分低下し電流密度を 3 %増加したに拘はらず卷線の溫度上昇は制限を超過することなし。斯くして銅使用量は導線長の減少と斷面積減少により $0.95 \times 1/1.03 = 0.92$ に減少即ち 8 %の節約となるなり。卷回數を 5 %減少したるまゝにて電流密度を變化せしめなければ銅損も 5 %減少し總損失に於て 6 ~ 7.5 %の減少となる故放熱器用材を同程度に節約し得る。即ち銅に於て 5 %の節約となる外普通鋼材及び油量に於て 2 ~ 3 %の節約となるなり。卷回數を變更せず鐵心斷面積を減少すれば鐵板使用量は 5.5 ~ 6.5 %節約し得。鐵損は 85 %に減少す。一方鐵心が細くなりたる丈卷線の長さが減り銅使用量も 2 %程度減少す。此の場合も總損失は 5 ~ 8 %の減少となる故放熱器用材と油の節約は 2 ~ 3 %可能なり。鐵損を金額に評價することは米國等で廣く行はれる所にて最初に述べたるが、假りに 1 kW に就き 300 圓と評價すれば 1 噸當りの鐵損 $2,050 W$ ($B=12,500$ に於て) が 80 %に減少したる爲の利得は鐵 1 噸に對し 120 圓となり鐵板自身の價格の二十數ペーセントに當るなり。

3. 硅素鋼板鐵損保證値

次に各製造所の硅素鋼板鐵損保證値を列舉す。

日本製鐵八幡製品 ($B=10,000 \sim 50 \text{~W/kg}$)

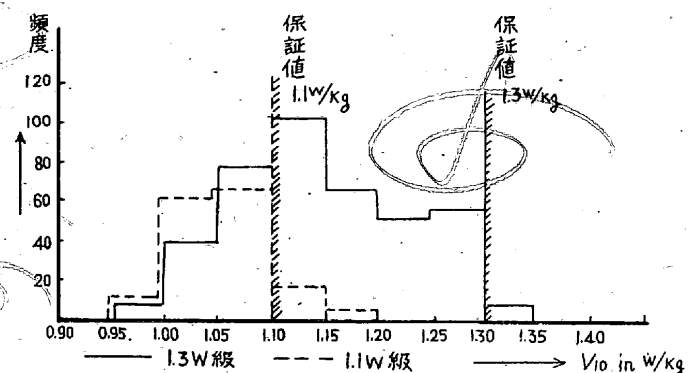
級	珪素含有量	厚さ		0.35%		0.43%		0.50%		
		30 μ	29 μ	(0.35%)	28 μ	27 μ	(0.43%)	25 μ	24 μ	(0.50%)
A	0.8 ~ 1.0%			2.60		2.88		3.20		
B	1.1 ~ 1.4%			2.40		2.62		2.92		
C	1.5 ~ 1.7%			2.15		2.30		2.46		
D	2.5 ~ 3.5%			1.95		2.10		2.35		
Ds	2.5 ~ 3.5%			1.65		1.76		1.88		
T	4.0 ~ 4.5%			1.45		1.57				
Ts	4.0 ~ 4.5%			1.30		—				

川崎製鉄工場製品 ($B=10,000 \sim 50 \text{~W/kg}$)

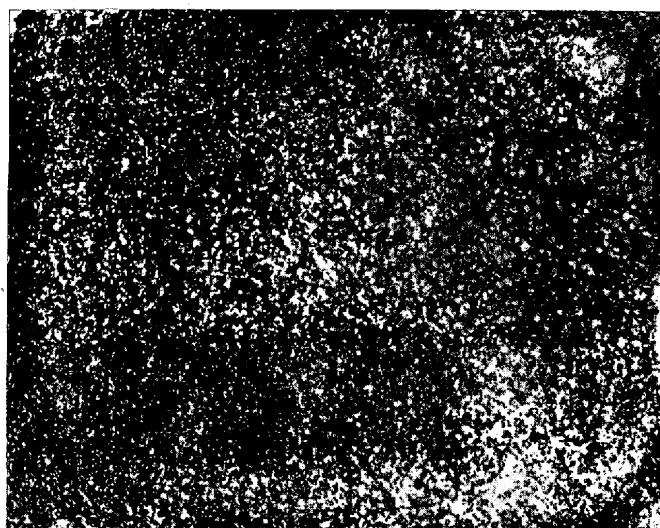
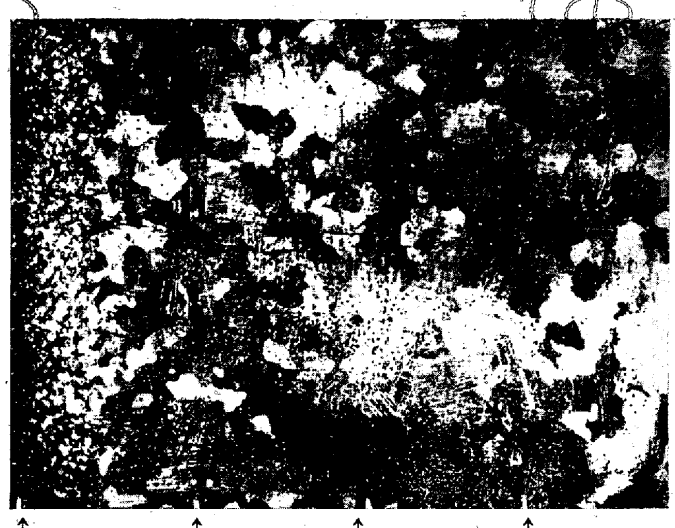
級	珪素含有量	M.U.S.C										最小誘導保證値			
		30 μ	29 μ	28 μ	27 μ	26 μ	Marco.	0.5%	25 μ	24 μ	H ₂₅	H ₃₇	H ₁₀₀	H ₃₀₀	
E B	1 ~ 1.4%	2.09	2.20	2.35	2.51	2.60	2.75	2.86	3.30	15,000	16,000	17,000	19,000		
E C	2 ~ 2.5%	2.00	2.00	2.07	2.13	2.17	2.20	2.31	14,700	15,700	16,700	18,700			
E D	3 ~ 3.5%	1.50	1.70	1.70	1.70	1.81	1.85	1.89	1.98	14,300	15,300	16,300	18,300		
E Ds	2.5 ~ 3.5%			1.55				1.65							
E T	3.9 ~ 4.2%	1.375	1.375	1.41	1.50	1.56	1.63	1.65	1.72	14,000	15,000	16,000	18,000		
E T _s	4.0 ~ 4.5%			1.25											

種類	化學分析				
	C	Si	Mn	P	S
Trancor No. 4	0.02~0.03	3.90~4.18	0.08~0.11	0.014~0.019	0.007~0.010
Trancor No. 2	0.02~0.03	3.32~3.60	0.30~0.38	0.013~0.017	0.007~0.014
Allegheny T.	0.05	3.90	0.16	0.014~0.017	0.011
Apollo special	0.018	3.86	0.21	0.02	0.011
八幡 T	0.03	3.85~4.15	0.13~0.22	0.013	0.007~0.014
川崎 T	0.02	3.90~4.20	0.08~0.1	0.020	0.007~0.012

種類	盤折(50×)		磁化力			
	10,000	15,000	H ₂₅	H ₅₀	H ₁₀₀	H ₂₀₀
Trancor No. 4	0.93	2.26	14300	15250	16400	18650
Trancor No. 2	1.22	2.81	14670	15450	16750	18900
Allegheny T.	1.29	3.19	14440	15380	16495	18600
Apollo special	1.25	2.78	14530	15400	16530	19030
八幡 T	1.27	3.29	14340	15230	16395	18500
川崎 T	1.27	3.20	14420	15365	16460	18547

第10図 獨逸某工場一ヶ年間の V_{10} の頻度

第11図 硅素鋼板の組織に及ぼす冷間圧延の影響 (4% Si)

冷間圧延をなさず 840°C に焼鈍せるもの (\times 約6)(冷間圧延率) 0% 1.25% 3.3% 6%
(断面の厚み) 1.50耗 1.48耗 1.45耗 1.40耗
片絞め冷間圧延をなし 840°C に焼鈍せるもの (\times 約6)結晶の大きさを比較の爲め一部を掲げたるもの (\times 約54)第12図 冷間圧延率と焼鈍組織 (中間焼鈍をなさざるもの, 860°C 8h 焼鈍す) (\times 約33)
(表面)

(圧延方向断面) 冷間圧延率 0%

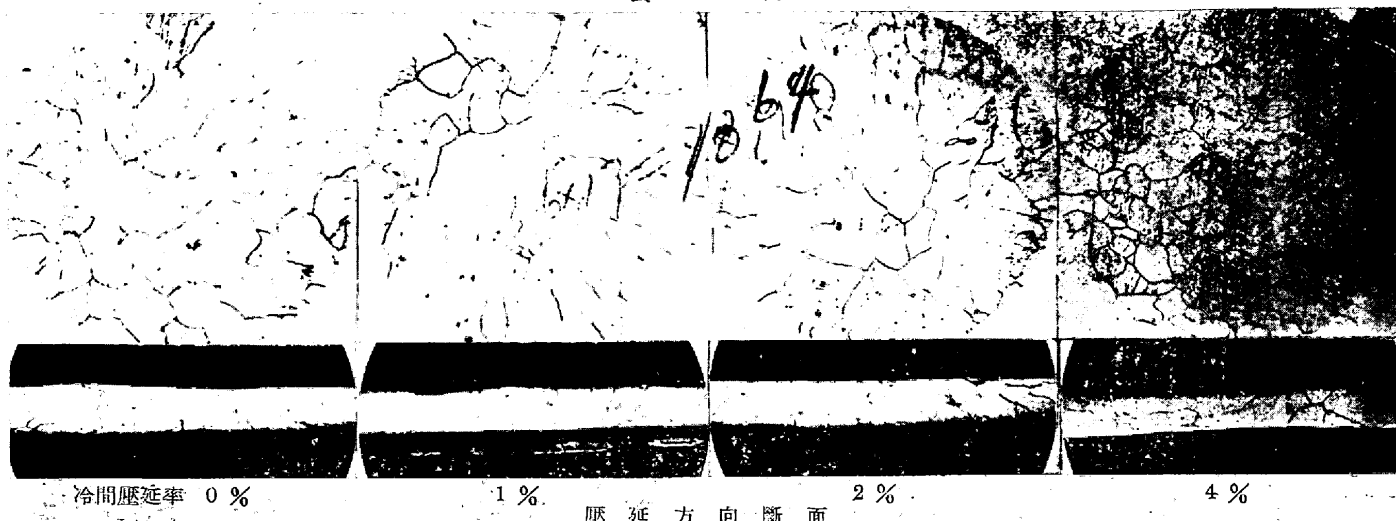
1%

2%

4%

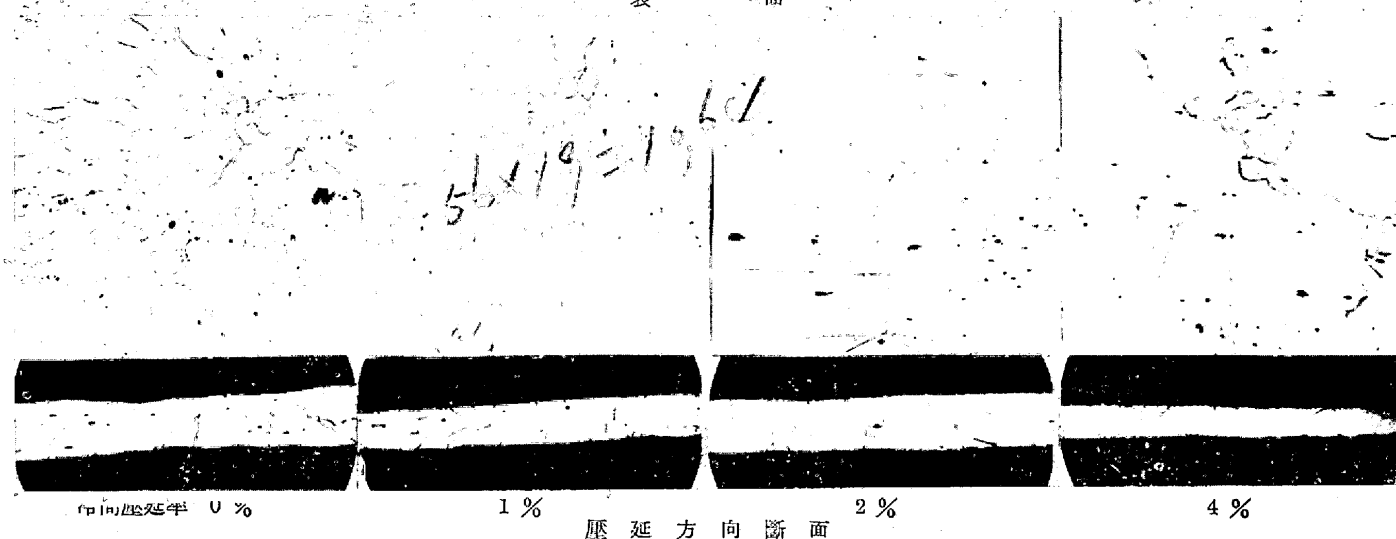
第13圖 冷間壓延率と焼鈍組織 (中間焼鈍をなさざるもの, 930°C 2h 焼鈍) (×約33)

表 面



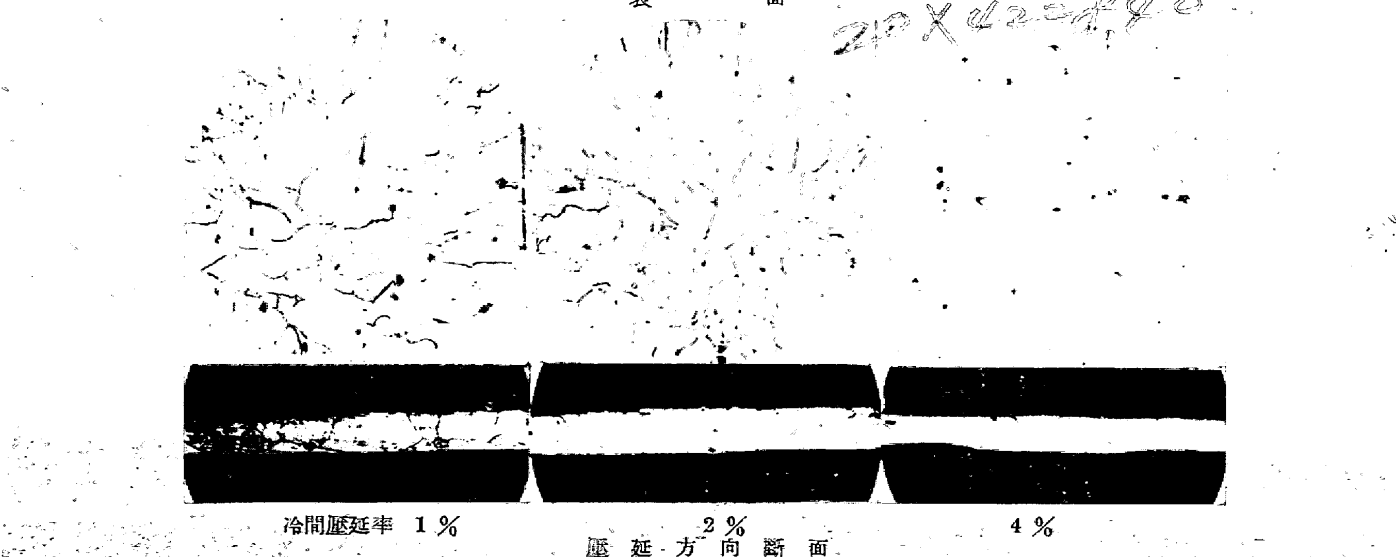
第14圖 冷間壓延と焼鈍組織 (850°C 中間焼鈍せるもの 冷間壓延後 860°C 8h 焼鈍す) (×約33)

表 面



第15圖 冷間壓延率と焼鈍組織 (850°C 中間焼鈍せるもの, 冷間壓延後 930°C 2h 焼鈍す) (×約33)

表 面

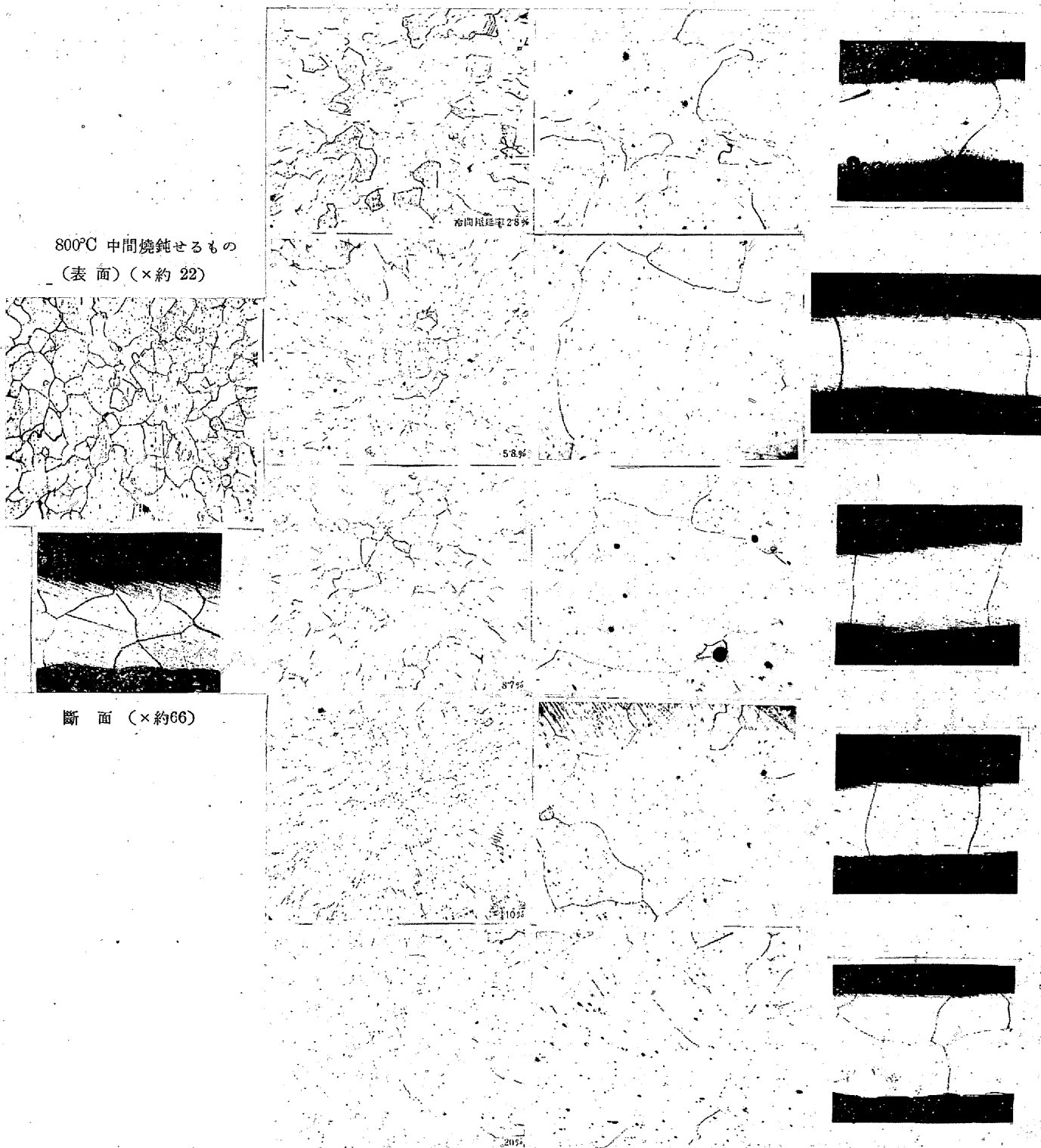


第16圖 冷間圧延率と焼鈍組織

中間焼鈍後冷間圧延せるもの(表面) 850°C 1 1/2h 以上焼鈍せるもの

(表面)(×約22)

(断面)(×約66)



56X 62.2 24.72

前述せる獨逸の規格 DIN VDE 6400 は 1926 年 10 月に發行されたるものにて、其後鐵板の品質は逐次改良され向上しゐるにかゝはらず規格は矢張り舊のまゝにて是れでは更に飛躍は望まれず、依りて Adolf Heitmeier は最近 2 ヶ年間の獨逸の某大變壓器工場に納入されたる數千噸の鐵板に就き鐵損を測定し頻度曲線を書き此の實績より見て DIN 6400 は更に改訂を要する事を稱へたり。第 10 圖は其の頻度曲線にて保證値より遙かに優秀なり。扱ふて本邦の現状は規格保證値より見るも遺憾ながら歐米より遙り頻度曲線を調査するも現保證値を改訂すべき實績に達し居らず。是非とも速かに少くとも歐米の水準迄持來さゞるべからず。然らば如何にすれば更に優秀なる鐵板を得るや鐵板製造に當り重要な二三の要點を述べんとす。

5. 冷間壓延作業

過去 30 年間に於ける鐵-珪素鋼板の性質の改良は本質的に其の純度を高めること及び熱處理の改良に由來したり。熱間壓延の技術のみが支配的にて、冷間壓延作業は熱間壓延を終りたる鐵板の皺の矯正と或程度の光澤を與へる位の目的としか考へられざりしが、種々研究の結果獨り珪素鋼板のみならず其他鐵板に於ても其の使用目的に應じ夫々重要な意義を有し特に此の鐵板に於て品質を左右するものは一つにこの作業にありと稱するも過言にあらず。

純鐵の格子變態點は 900°C なるが Si 2.5% 以上加はれば消失し 4% 鋼に於ては均一 α 相にて變態なく變態點を目標にして粒の成長を圖るは不可能なり。4% Si 鋼の場合は 950°C 以上の燒鈍の場合、初めて粒の成長を起し 1,000°C 以上に於て成長程度甚しくなるが現在の鐵板を 1,100°C に於て數時間加熱するも大粒には達し得ず、冷間に於て一定の加工を施し内部歪を起さしめ是れを加熱して再結晶を行ふことにより粒の成長を起し得る。即適當なる冷間作業を行ひ 750~900°C にて長時間燒鈍し徐冷すれば再結晶の爲に大なる結晶を有する鐵板を得るなり。此の大結晶を有するものは小結晶のものに比し磁氣的に優秀なる性質を有す。此の原因に關しては種々意見ありて結晶粒の境界面の直接ヒステレス損に惡影響を及ぼすと假定したもの或は再結晶の時に不純物、殊に除かれずに残りゐたる SiO_2 が結晶粒界に押しやられ結晶の内部は純な且、歪力の無き状態になるとの見解を有するものもあり。

冷間壓延の有する作業には種々あるも殊に重大なる意味を有するは次の二作用なり。

(I) 微量の冷間壓延率を與へて結晶の粗大を圖る(但し結晶の配列は第一義にあらず)。

(II) 非常に大なる冷間壓延率を與へ結晶の粗大より配列を重視し方向性を與ふ。

鐵板の製造に當り兩者何れを得策とするやは實際現場に於て行ふ際夫々技術的困難を伴ふ故簡単に判断は出來ざるも (II) の方は相當の設備と多大の費用とを要し且高珪素鋼の如き硬く脆きものに對しては餘程困難なる事にして此の點 (I) の方容易なり。

今 (I) に就いて詳述せんに從來の經驗よりすれば粗大なる結晶は一般に低損失を與ふるものなれば磁氣的性質を良好ならしむる爲には粒の成長を圖る要あり。熱間壓延後直ちに冷間壓延を爲すよりは一度中間燒鈍後適當なる冷間壓延率を與ふる方が結晶の粗大化は容易なり。如何程の壓延率を適當とするや厚み 1.5mm の 4% Si 鋼板を中間燒鈍後楔型の厚みに冷間壓延したる後 840°C に燒鈍せるに添付寫真(第 11 圖)の如く適當なる冷間壓延を受けたる處は結晶甚だ大きく全々壓延の影響を受けざる所に比すれば數倍なり。壓延率は 20% 以上になれば組織は又小くなるなり。

Wimmer & Werthbach は 1.9% Si のものは 3~4% の壓延率を、2.5% Si のものは 2~3% の壓延率を與へ 850~900°C で燒鈍し 4% Si のものは 1~2% の壓延減厚後 900~950°C に燒鈍する事により大なる結晶を得ると述べたり。

珪素 4% の變壓器鐵板を中間燒鈍をせるものとせざるものとのにつき 1~4% の冷間壓延率を與へたもの、仕上燒鈍後の磁氣的性質及び顯微鏡組織を調査せるに次の如し。

A. 中間燒鈍をなさざるもの(第 12, 13 圖)

(B=10,000 50~ W/kg)

壓延率	鐵損失							
	冷間壓延後		840°C 燃鈍			930°C 燃鈍		
	V ₁₀	V ₁₅	V ₁₀	V ₁₅	V ₁₅ /V ₁₀	V ₁₀	V ₁₅	V ₁₅ /V ₁₀
1%	2.79	4.78	1.36	3.20	2.35	1.30	3.00	2.30
2%	2.96	5.03	1.24	2.99	2.40	1.26	2.90	2.30
4%	3.12	5.36	1.17	2.94	2.52	1.24	2.96	2.39

B. 850°C にて中間燒鈍をなせるもの(第 14, 15 圖)

(B=10,000 50~ W/kg)

壓延率	鐵損失							
	冷間壓延後		840°C 燃鈍			930°C 燃鈍		
	V ₁₀	V ₁₅	V ₁₀	V ₁₅	V ₁₅ /V ₁₀	V ₁₀	V ₁₅	V ₁₅ /V ₁₀
0%	2.54	5.23	1.18	2.88	2.51	1.13	2.72	2.41
1%	3.90	6.42	1.16	2.80	2.42	1.14	2.73	2.39
2%	4.30	6.95	1.11	2.70	2.42	1.07	2.57	2.39
4%	4.43	7.24	1.13	2.78	2.45	1.08	2.60	2.40

組織寫真を見るに(B)のものには結晶大なるものあり、次に最も適當に冷間壓延をなされたる組織は如何に大きくなるや、此處に参考の爲に結晶組織を第16圖に示す。即ち板の厚みは殆ど單結晶なり。現在舶來品にてアームコの或種のものは同様の組織を呈せり。結晶の大きさは略々7~10mm位の長さあり。

然し實作業に當りて2~4%程度の壓延を行ふは餘程技術者が良く監督をなしロールの型状に注意して調整をなさざれば不可能なり。特に熱間壓延に於ても殆ど厚みの不同なき鐵板を得ること困難なり。熱間ロールは鼓型をなしある爲に壓延されたる板は丁度魚の尾の如く中央部は凹んでおり夫れだけ長さの短きことは中央部の厚き事を示すなり。是れに反し冷間ロールは中央部は太鼓型に膨んでゐる爲に熱間壓延にて生じたる中央部の過厚のものを壓延し調整するものなるが餘りに此の差甚しき時は前記の2~4%程度の冷間壓延率の範囲外に出る故に結晶粒の成長は期待し得ず且つ部分的に不均一なる組織を呈し、ひいては電磁氣的性質も不均一性を現すなり。故に熱間、冷間ロール共に調整に留意し其作業には特に注意を要するなり。上記の如く極く微量の冷間壓延率を與ふることは實作業に當りて一々測定するは困難にして、且つ甚だ不生産的なり。依りて豫め適當回數ロールをパスすることにより大略何%位の減厚に匹敵するやを測定しあきて行ふ。今此の冷間壓延回

數を増す事によりて如何に電磁氣的性質が改善さるや測定せるに次の如し。(本頁左下端の表参照)

是等の結果よりパス回數の多きもの程表面非常に滑かとなり、從て占積率も良く鐵損値も良好なり。熱間壓延のまゝ仕上げたるもの及び冷間作業をなしたるもの又途中にて酸洗したるもの等の表面の仕上り程度を表面仕上り精度器により測定し第17圖に示す。是れよりも明瞭なる如く

第17圖 製作工程の相違による珪素鋼板面精度比較圖(冷間壓延及び酸洗の影響)

1. 热間壓延のまゝのもの

2. 热間壓延後冷間壓延2回パスのもの(2%減厚)

3. 热間壓延後冷間壓延10回パスのもの(6%減厚)

4. 热間壓延後酸洗し2回冷間壓延のもの

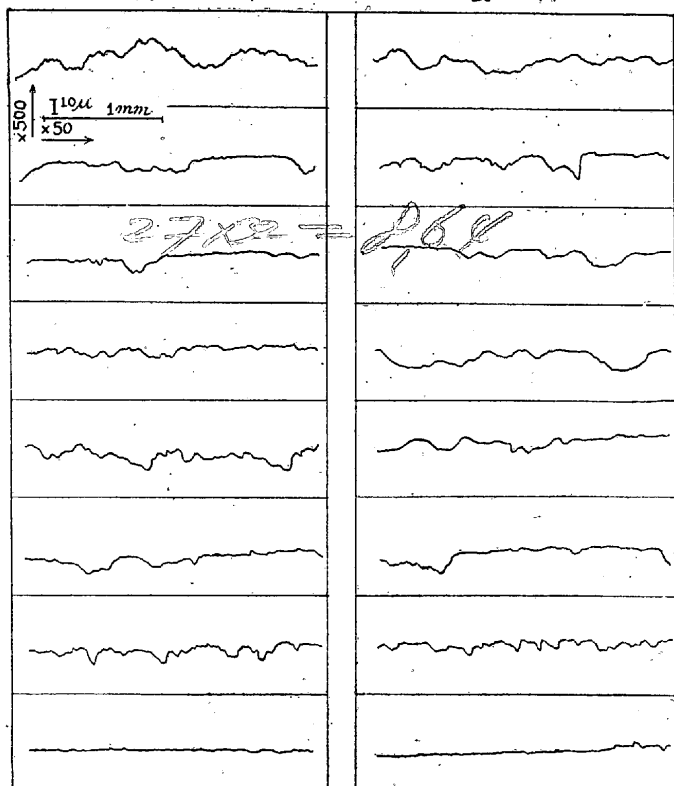
5. 热間壓延後2回冷間壓延し酸洗せるもの

6. 1回冷間壓延後電氣爐にて燒鈍せるもの

7. 1回冷間壓延後瓦斯爐にて燒鈍のもの

8. 1.5耗より冷間壓延せるもの(77%減厚)

表面裏面



冷間壓延により相當表面は滑かになるなり。曲線より凹凸の面積を計算し占積率(眞の占積率にあらず)を算出し比較す。英國の規格によれば占積率は92%以上と規定しあり。計算の基礎に多少の相違あるも大略是れにより判定し得。熱間壓延のまゝのもの最も悪く次いで冷間壓延後酸洗せるものなり。是れは冷間壓延の爲に熱間壓延に於て生じたるスケールを板の面に押し込んだるものを酸洗せる故に表面非常に凸凹となる爲なり。

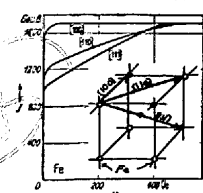
次に(II)の結晶の粗大よりは配列を重視する方法に關して述ぶるに最近注目すべきは相當大なる冷間壓延率を與ふることにより特定の結晶方向を與へたる構造をつくることなり。厚みの少くとも15%以上の冷間壓延を行ひたる後1,100°Cにて燒鈍すれば一つの構造を得るが[100]方向が壓延の方向と平行なものが非常に多くなるなり。優秀なる結晶配列は冷間壓延と中間燒鈍との結合により得ら

	V ₁₀	V ₁₅	V ₁₅ /V ₁₀	H ₁₀	H ₂₅	H ₅₀	H ₁₀₀	H ₂₀₀	
熱冷な 間の 間隔な いの作 りの す	850°C 3時間燒鈍	1.20	2.34	2.36	13410	14440	15250	16390	18680
	900°C 2時間燒鈍	1.15	2.80	2.34	13140	14140	14900	16080	18390
	1000°C 2時間燒鈍	1.18	2.68	2.27	13170	14290	15250	16420	18600

	V ₁₀	V ₁₅	V ₁₅ /V ₁₀	H ₁₀	H ₂₅	H ₅₀	H ₁₀₀	H ₂₀₀	
冷2と 間隔の 間隔の いの作 りの す	850°C 3時間燒鈍	1.12	2.79	2.49	13750	14580	15470	16600	18820
	900°C 2時間燒鈍	1.07	2.84	2.64	13620	14520	15380	16460	18760
	1000°C 2時間燒鈍	1.25	2.90	2.32	13090	14310	15160	16300	18520

	V ₁₀	V ₁₅	V ₁₅ /V ₁₀	H ₁₀	H ₂₅	H ₅₀	H ₁₀₀	H ₂₀₀	
冷2と 間隔の 間隔の いの作 りの す	850°C 3時間燒鈍	1.08	2.69	2.49	13660	14440	15330	16460	18740
	900°C 2時間燒鈍	1.08	2.70	2.50	13540	14480	15340	16380	18500
	1000°C 2時間燒鈍	1.19	2.91	2.45	13090	14220	15140	16350	18630

第 18 圖 鐵の單結晶の磁化曲線



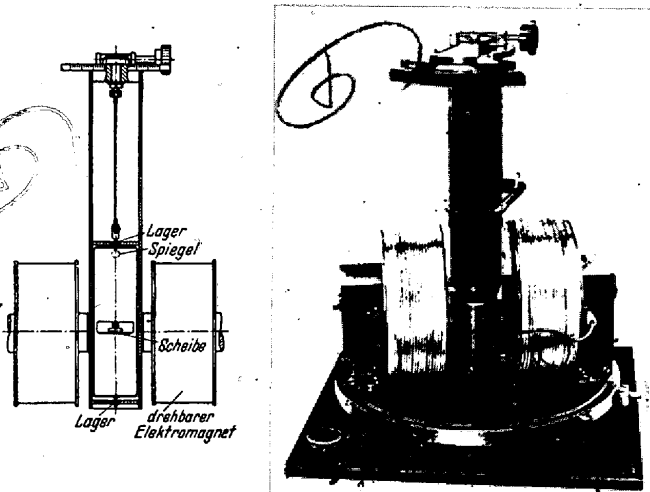
Magnetisierungskurven von Eisenkristallen mit der Winkelgeschwindigkeit (Mitte) und Raumdimensionen (Unten) parallel zur Feldrichtung (Nach Honda und Kaya)

注意して是れを行へば結晶の 70~80 % は其の [100] 軸が壓延方向に對し 10 % 以下の變位にて揃ふ。

Sixtus によればロール平面の約半分は (110) にて他の約半分は (100) なりと、3.5 % Si 鐵板の熱間及冷間壓延せるものゝ方向性は (110) の面は壓延面に平行にて [100] 軸は壓延方向に平行なりと故に熱間壓延をなせる板の方向性は (100) 面と [110] 軸の方向にて冷間壓延せるものは (100) 面と [100] 軸の方向にあることなり。

珪素鋼の單結晶の代りに鐵の單結晶に就いて見るに鐵の單結晶を構成する格子は體心立方なり。 $I=1,000$ ($B \sim 12,000$ gauss) 迄は結晶の總ての方向に對して磁化曲線は殆ど一致す。

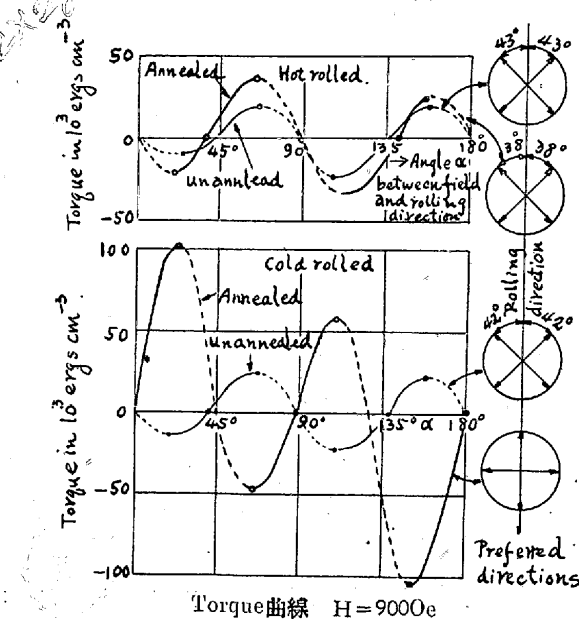
第 19 圖 磁氣異方性測定器 (Nach Dahl. und Sixtus.)



夫れ以上になれば磁場 H を作用させる方向により磁化曲線は異てくるなり。[100] 軸の方向には極めて僅かの磁場で飽和し [110] 軸の方向は飽和し難く [111] 軸の方向には最も飽和し難し。單結晶の板は方向により導磁率を異なる故 $I > 1,000$ の如き磁場に入れる時は其の向きを變じ様とする Torque を受くるなり。單結晶のみでなく多結晶のものにても特別の方向を有するもの（微晶が全く勝手な方向に向てゐるもの）にては充分に大きい磁場の中で Torque を受く。

Sixtus は珪素鋼板の壓延の方向と磁場の方向との間の角を種々に變じて Torque を測定し第 20 圖の如き曲線を得たり。

第 20 圖



Torque 曲線 $H = 9000$ oe
Torque curves at high fields.
a. gives the curves for a hot rolled sheet.
b. for a cold rolled sheet, both before and after anneal. $H = 900$ oersteds.

(第 19 圖には最近の Torquemeter を示す)

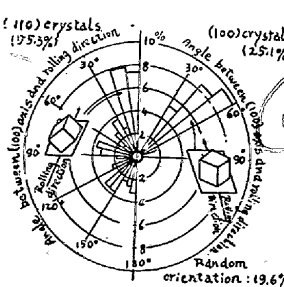
熱間壓延のものと 85% 冷間壓延を爲したるものを $1,100^\circ\text{C}$ に燒鈍するに熱間壓延のものは燒鈍前後に於て其の特定方向は壓延方向に對して略々 $\pm 45^\circ$ なるが、冷間壓延せるものは壓延狀態にては熱間壓延のものと大差なきも燒鈍後は全く方向性は變はり其の特定方向は壓延方向に平行と直角の二方向になるなり。

又彼は光學的腐蝕孔像法に依り熱間壓延と冷間壓延のものに就き數百の結晶を顯微鏡を覗きつゝ廻轉し明暗により其の方向性を決定、次の如く纏めたり。（第 21, 22 圖）

是れによれば冷間壓延せるものは電磁氣的に磁化し易き

第 21 圖

熱間壓延後燒鈍せるものゝ [100] 軸の分布



第 22 圖

冷間壓延後燒鈍せるものゝ [100] 軸の分布

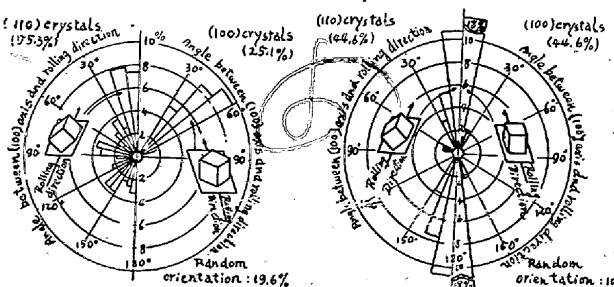
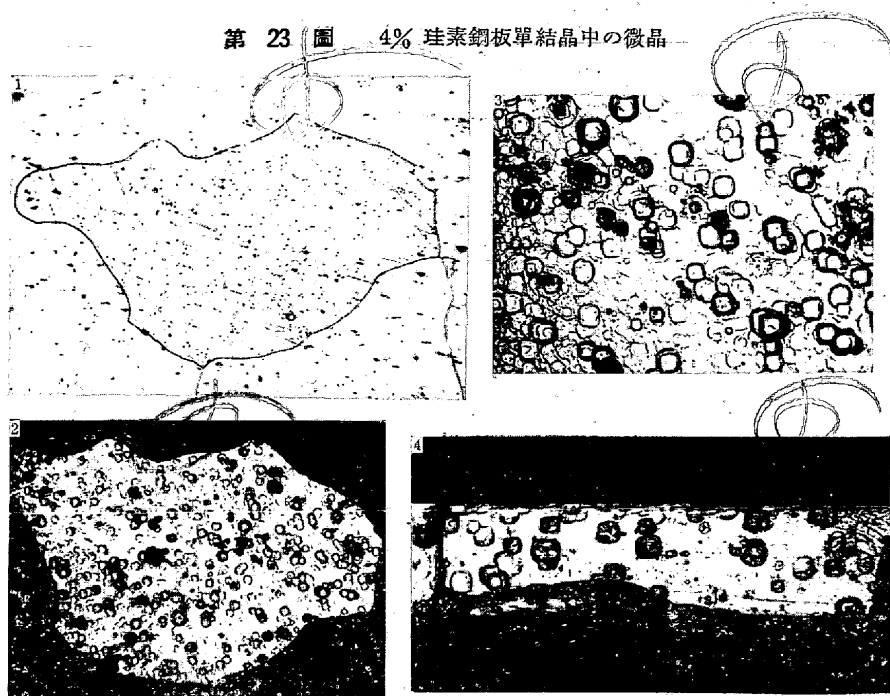


Fig. 21 The distribution of [100] axes in (100) crystals (right) and in (110) crystals (left) on the hot rolled, unannealed sample of Fig. 20, a. The radius of each 10° sector gives the percentage of crystals having a [100] axis within these 10° . The insets show the preferred orientations.

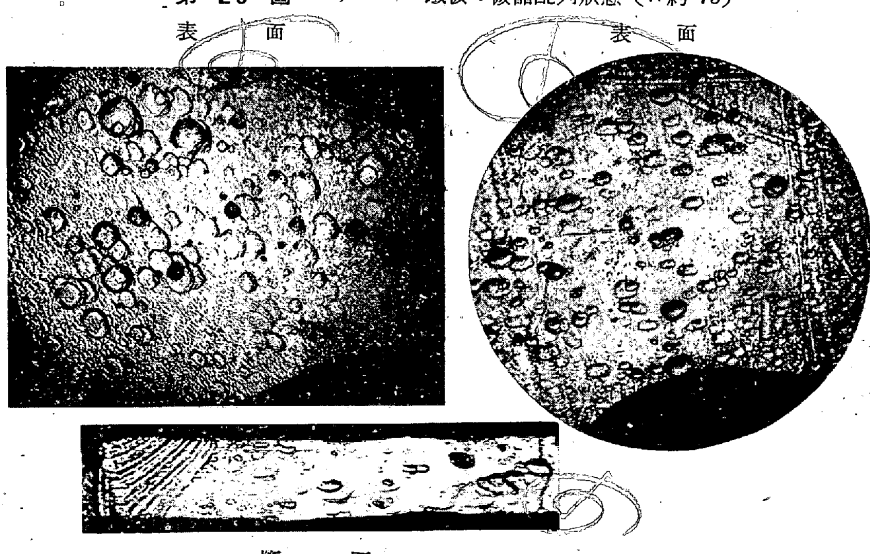
Fig. 22 The distribution of [100] axes in (100) and (110) crystals on the cold rolled, unannealed sample of Fig. 20, b.

方向 (100) の結晶は 44.6% なるに反し熱間壓延のものにては 25.1% なり。

第23圖 4% 硅素鋼板単結晶中の微晶

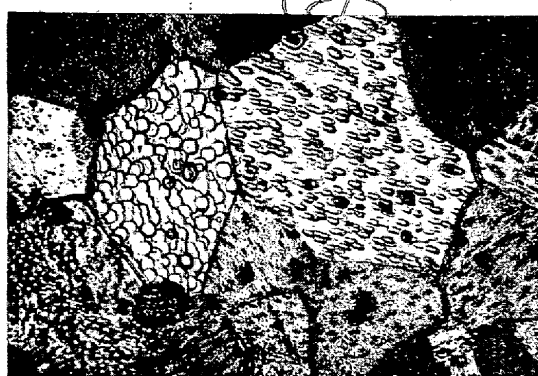
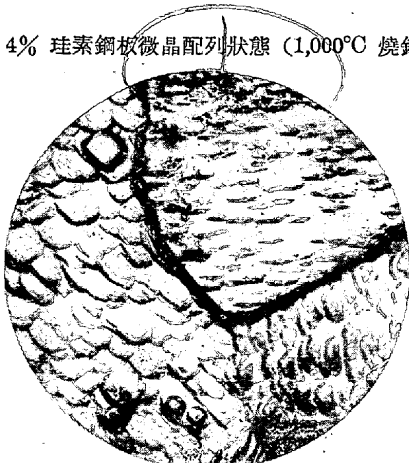


- (1) 適當なる冷間法により製造されたる粗大結晶(表面, \times 約 75)
- (2) 上部単結晶中の微晶(100)を示す(\times 約 350)
- (3) (2)の微晶を約 250 倍に拡大したるもの
- (4) (3)の結晶の断面の微晶を示す(\times 約 75)

第25圖 アームコ鐵板の微晶配列状態(\times 約 75)

第24圖

4% 硅素鋼板微晶配列状態(1,000°C 烧鈍)

 $(\times \text{約 } 75)$  $(\times \text{約 } 250)$

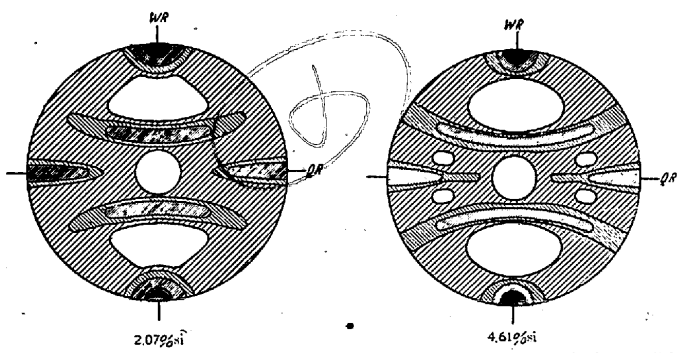
Frey and Bitter は冷間加工に續く再結晶を繰返す毎に壓延面内に(110)面を有し、壓延方向に[001]軸を有する結晶の割合を増加せしめ壓延面内に(100)面を、壓延方向に[011]軸を有する結晶の割合を減少せしめることを述べおれり。

第23圖は中間焼鈍法により得たる粗大結晶中の微晶の(100)面の壓延面に平行なるものを示す。第24圖は壓延面に平行なる各異なりたる面を有する微晶の配列状況を示す。第25圖はアームコ鐵板の表面及断面の微晶配列の一例を示す。

次にX線回折法を用ひて材料の結晶配列を研究せるに Wever の Pole figure あり。體心立方體の壓延組織に及ぼす珪素の影響に就ては Barret, Ansel and Mehl の研究あり。第26圖は 2.07% Si 及び 4.61% Si の板を 95% 冷間壓延したるもの、(110)面に對する Pole figure なり。珪素量の多少により壓延方向に對する結晶の變位密度に差がありて低珪素にては 40~45°、高珪素にては 55~60° に達す。第27圖は前者の鐵板を 580°C にて再結晶したる(110)面の Pole figure を示し、第28圖に 4.61% の板を 590°C に焼鈍したるものと第29圖には同じ板の 860°C にて再結晶したる組織の Pole figure を示す。再結晶の配列は第26圖の壓延したもの

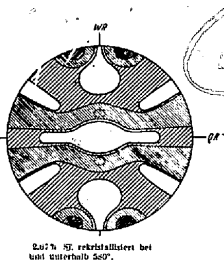
とは異なり、本質的には板の Normal に對し約 17° 回轉したと同様の結果になるなり。

第 26 圖



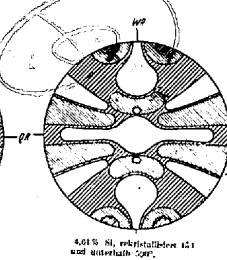
Polykristallinen Dodekaederflächen von kaltgewalzten Eisenblechen mit verschiedenem Siliziumgehalt, Walzgrad 95%. (Nach Barrett, Ansel und Mehl.)

第 27 圖



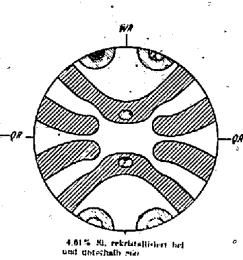
4.61% Si, rekrystallisiert bei
und unterhalb 500°.

第 28 圖



4.61% Si, rekrystallisiert bei
und unterhalb 500°.

第 29 圖

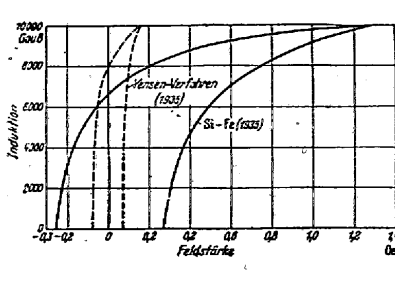


4.61% Si, rekrystallisiert bei
und unterhalb 500°.

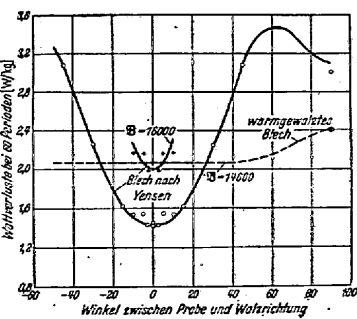
拟是等の結晶配列法を應用し製作したるものに Goss 法 Yensen 法, Kreuzwalzen 法等あり。

1. Goss 法 米國にて珪素钢板の再結晶法を試みたるは Goss なり。此法は冷間壓延と焼鈍を交互に繰返へすものなり、1~4% Si 鋼板に行ひ得るが主として 3~3.5% Si に應用さる。方法は 2.5~1.3mm の鋼板を壓延し 760°~930°C にて焼鈍す、大體の目標は 870°C なり。焼鈍は出来るだけ早く加熱し最少時間(數分間)保ち出来るだけ早く冷却するものにして、次いで 50% 冷間壓延をなし 0.6~1.3mm になす、2 回目の焼鈍温度は 815~890°C にて目標は 930°C 近なり。焼鈍時間は再結晶に必要なる最短時間を保ち冷却して 0.25~0.35mm の仕上冷間壓延をなし 3 回目の焼鈍は 1,010~1,150°C にて目標は 1,100°C な

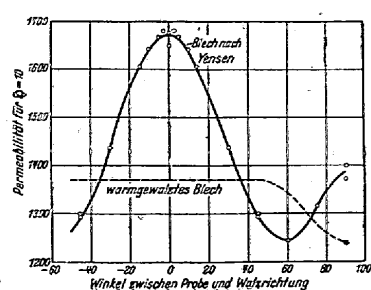
第 30 圖 Yensen 法によるもの
市販品の珪素钢板の誘導
曲線 (Yensen)



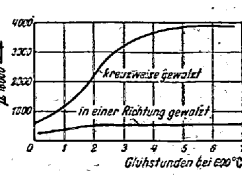
第 31 圖 壓延の方向に對する
試料の位置と鐵損との
關係 (Yensen)



第 32 圖 壓延の方向に對する
試料の位置と導磁率との
關係 (Yensen)



第 33 圖 普通壓延法によ
るものと十字形壓延方
法により製せられたる
珪素钢板の燒鈍による
導磁率比較 (Bitter)



574.12 = 6.24

角線は直角方向に向き居ることなり、即立方體の面はロール面にあり、[110]軸は両方の圧延方向に平行にある様な配列になすことなり。此法は熱間に於ても應用さる。適當なる温度は700°Cなるが最高1,000°C迄なり。磁氣的に容易なる[100]方向は此の十字形圧延法によれば圧延方向に對し45°になりおれり。第33圖は4%Si鐵板の普通の法と此の方法とにより製せられたるものと600°Cにて焼鈍したものと導磁率の比較を示すものにて此の方法によるもの遙かに大なるを知る。600°Cなる焼鈍温度は導磁率には適當なるもヒステレシス損を低下せしむるには餘り低く過ぎて不適當にあらう。大張り1,000°C位を適當とす。夫れにより $\mu_{16,000}$ は1,200も下るも60~にて1,000 gaussにてヒステレシス損は0.60 W/kgに達す。

○焼鈍温度、導磁率及びヒステレシス損との關係は次の表に示す。

十字形圧延法による4%珪素鋼板の焼鈍温度と磁気的性質						
焼鈍温度	導 磁 率			60サイクル、1000ガウスにおける電気損失		
°C	5エルコット	20 グ	100 グ	watt/kg		
600	2723	835	185	2.90		
700	2162	855	186	2.10		
800	2233	863	185	1.50		
900	3007	815	181	0.90		
1000	3013	813	182	0.66		
1100	2963	800	181	0.48		
1200	2963	803	183	0.35		
1300	2862	785	180	0.35		

此の法により製造されたる板は再結晶後の結晶の方向性は好いが交互に圧延方向を變する故板の大きさは兩方向に擴がる故にロールの幅の廣きものを必要とする缺點あり。

珪素鋼板鐵損値は縦目、横目を組合して測定せるもの故

	V ₁₀	V ₁₅	V ₁₅ /V ₁₀	H ₁₀	H ₂₅	H ₅₀	H ₁₀₀	H ₂₀₀
縦 横 合	0.94	2.33	2.48	13950	14760	15540	16670	18940
縦 目 のみ	0.92	2.23	2.42	14150	14910	15790	16520	18780
横 目 のみ	1.02	2.52	2.47	13960	14580	15350	16460	18710

	V ₁₀	V ₁₅	V ₁₅ /V ₁₀	H ₁₀	H ₂₅	H ₅₀	H ₁₀₀	H ₂₀₀
熱間圧延のまゝ焼鈍す	1.30	3.08	2.36	13560	14990	15600	16750	19740
縦目1回冷間圧延	1.22	3.13	2.60	13590	14460	15220	16430	18740
横目1回冷間圧延	1.13	3.03	2.69	13120	14120	15990	16310	18770
縦目1回、横目2回冷間圧延	1.18	3.11	2.64	13230	14140	15090	16270	18650

此の平均値と考へらるべく縦目、横目別個に測定する時は次の如く縦目の方常に良好にして今冷間圧延を横目になす時は更に普通の場合に比し成績は良好になるも、現在に於てはロール幅狭き爲に制限されかくする爲には板を半切せざるべからず。(上表参照)

6. 焼 鈍 作 業

如何に原料に於て良質のものを得、精鍊、熱間、冷間圧延作業共に宜敷を得るとも焼鈍作業を忽にする時は優秀なる鐵板は得難し。

特に珪素鋼板に對する焼鈍作業は、

1. 徐熱、徐冷をなすこと。
2. 均一なる焼鈍をなすこと。
3. 酸化皮膜の出來る限り薄きこと。

等は最も緊要なる條件にて特に此の鋼板は高珪素の爲に熱の傳導悪く急激に加熱、冷却する時は割れる懼れあり。均一なる焼鈍を施す爲には勢い電気焼鈍爐を使用せざるべからず、ガス焼鈍爐にては部分的燃燒の爲に不均一となり電磁氣的性質惡し。裝入量に於ても多量を一時に焼鈍することは不均一の因にて絶対に避くべく1回の焼鈍量は1~3tを適量とす。時間的にも却て其の方經濟的なり。既に述べたる如く高珪素鋼は變態點なき故適當なる温度を物色し其れを目標に焼鈍するものなり。以下焼鈍温度と鐵損との關係を表に示すに、(4% Si 鋼)

鐵 损 V ₁₀ watt/kg	燒 鈍 前	燒 鈍 後	鐵損減少率 %
650°C 30分	3.81	2.05	46
700°C ク	3.81	1.46	62
750°C ク	3.84	1.12	71
800°C ク	3.84	0.96	75
850°C ク	3.65	0.98	75
650°C 2時間	3.55	1.97	49
700°C ク	3.86	1.25	67.5
750°C ク	3.83	1.07	72.5
800°C ク	3.98	0.96	75
850°C ク	3.89	0.98	75
650°C 5時間	3.90	1.21	69
700°C ク	3.90	1.08	72
750°C ク	3.91	0.98	75
800°C ク	3.91	0.97	75.5
850°C ク	3.94	1.01	75

是等の結果より適當なる焼鈍温度は800°C~850°Cなり。是等は實驗室に於ける結果にして實際に現場に於て製造せるものは種々なる條件のため5%位鐵損失多し。

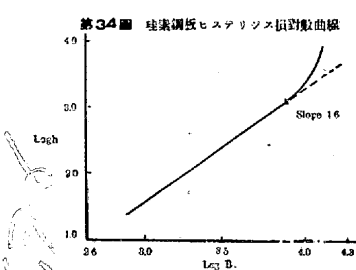
次に酸化皮膜なるが是れは電磁氣的に鐵板に惡影響を及ぼす。如何にして此の酸化皮膜を防止するや、實驗室的には真空焼鈍、或は水素氣流中に於ける焼鈍により好結果を得るも工業的に大規模には困難を伴ふ故に特別の還元ガスを發生し絶えず焼鈍中注入して空氣を排除するなり。當所に於ては從來は市販のガス及び窒素ガスを注入したるも結果良好ならざる故特別にガス發生機を外國より購入し特種ガスを發生し注入しつゝあり。此のガスは成分を變化することにより磨鋼板等に注入する時は全く冷間圧延による光澤の儘の板を焼鈍後も保持し得らるなり。

酸化皮膜厚きものは切斷作業、ワニス處理、加熱作業等により、剥脱し絶縁上困却す、殊に厚きものは 0.04 mm 以上もあり斯くては有效面積を減じ高磁束密度に於ける鐵損値を増大ならしめ磁束飽和値を減少せしむる原因となる。

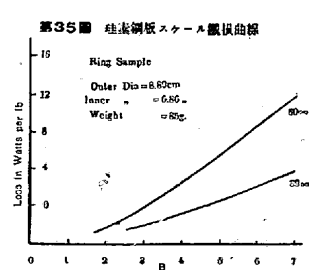
電動機用及發電機用鋼板の國產品は成績は良好にして外國品に遙らざるも變壓器用鋼板に於て $B=10,000\text{ gauss}$ 前後に於ては大差なきも $B=15,000\text{ gauss}$ 前後となるや外國品に比し著しく鐵損増加す、殊に高磁束密度に於て使用せらるゝ今日此の $15,000$ に於ける高鐵損は不可なり。

即磁束密度は $15,000\text{ gauss}$ 、 50~A に於ける鐵損の $10,000\text{ gauss}$ の夫れに對する比の大きさを望むなり。其の爲には酸化皮膜を出来る限り薄くす。然る時は此の比は小さくなるなり。即高磁束密度に於て急激に鐵損の増すは酸化皮膜の爲にして是れに就いては Ball の参考論文あり。Steinmetz の Hysteresis Loss の方程式と Kennelly の Reluctivity 方程式は

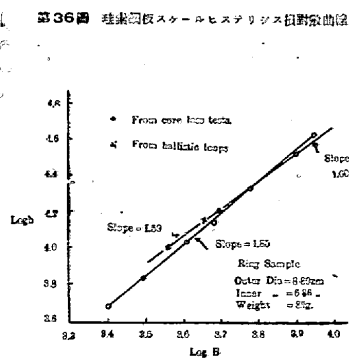
Hysteresis Loss $h = \eta B^{1.6}$ Reluctivity $\rho = \alpha + \xi H$ にて是等の $\log h - \log B$ 及び $\rho - H$ 曲線は夫々直線となればならぬに珪素鋼板にては何れの曲線も下の方にては略々直線なるが上方にては直線より離れ恰も材質の變りたるが如き觀を呈す。是れ酸化皮膜の影響にして珪素鋼板は珪素鋼と酸化皮膜との組合よりなる不均質材料にて H の小なる間は酸化皮膜は磁性を示すこと僅少なるも H の大となるにより相當磁性を示す結果と想像さる。此の磁性の急に現はるゝ點にて直線との分離が生ずる。電氣比抵抗は酸化皮膜は 25°C に於て $107\sim157\mu\Omega\text{cm}$ 、比重は 5.54 に



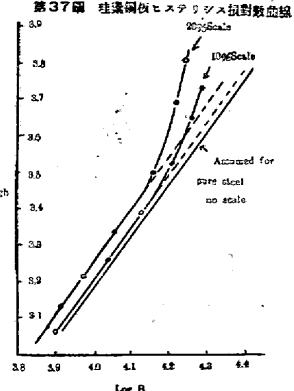
第34圖 硅素鋼板ヒステリシス損對數曲線



第35圖 硅素鋼板スケール鐵損曲線



第36圖 硅素鋼板スケールヒステリシス損對數曲線



第37圖 硅素鋼板ヒステリシス損對數曲線

て 4% 硅素鋼自體は $55\mu\Omega\text{cm}$ 、比重 7.55 で著しき差なきも磁性には格段の差あり。

硅素鋼板のヒステリシス損の對數曲線を第 34 圖に示す。酸化皮膜なければ點線の如くなる筈なり。第 37 圖は酸化皮膜の厚さ 10% 及び 20% の場合のヒステリシス損を計算より求めた結果の對數曲線なり。(第 35 及第 36 圖にスケールの鐵損曲線を示す)。

酸化皮膜の厚みは普通のものは $0.03\sim0.04\text{ mm}$ にて略鐵板の厚みの 10% 前後なり。硅素 4% 鋼に出來たるもの分析せるに次の如し。

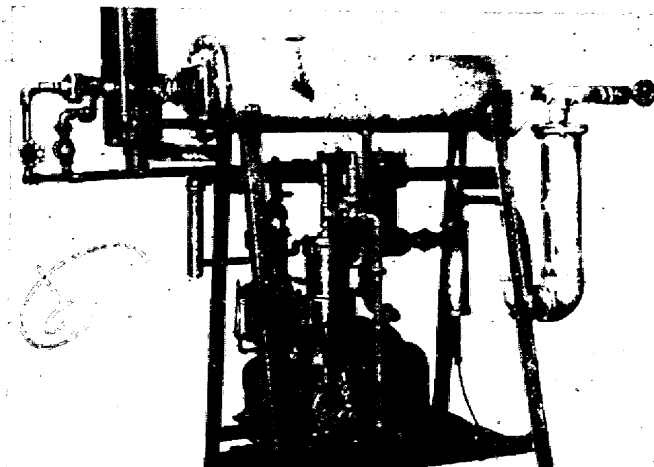
SiO_2	Si	FeO	Fe_2O_3	Fe_3O_4	Mn	P	S
スケール分析	10.03	trace	2.376	84.74	1.751	0.57	0.065

7. 酸洗滌とスケール除去作業

電磁氣的性質に有害なる酸化皮膜(スケール)を防止する方法として特種ガスを發生注入する發生機を利用する方法と更に積極的なるものとして硫酸等により酸洗滌をなし酸化皮膜を取去る方法とあり。製造工程中の何處に於て酸洗滌をなすかは重要な問題にして且つ酸の濃度、溫度等適當ならざれば地肌を冒し水素ガスを包含し電磁氣的性質は却つて悪くなり製品も取扱ひに注意せざる時は非常に鏽易し。特に高珪素鋼板の酸洗は餘程入念に作業をなさざる限り優秀なる成績は得られず、酸洗されたる鋼板の $15,000\text{ gauss}$ に於ける鐵損は著しく減少し $V_{15} : V_{10}$ の比は 2.5 以下になり、即高磁束密度に於ける鐵損曲線は減少する方向に傾き且つ導磁率も良好になるなり。

防酸ガス發生機は第 38 圖に示す如き裝置にして市販ガスを燃焼室に於て適當なる空氣量と混合し燃焼し主として $\text{CO} 10\%$ 、 $\text{CO}_2 4\%$ 前後なるガスとして爐筐内に注入す。

第38圖 防酸ガス發生機 (combustion type)



3) 防酸ガス注入せるもの。

	V_{15}	V_{15}	$\frac{V_{15}}{V_{10}}$	H_{10}	H_{20}	H_{50}	H_{100}	H_{300}
L' (850°C 3時間) (焼純せるもの)	1.20	2.64	2.37	13470	14440	15250	16370	18580
M' (ク) (焼純せるもの)	1.12	2.79	2.49	13750	14550	15470	16500	18820
N' (ク) (焼純せるもの)	1.25	2.55	2.12	13660	14460	15350	16450	18660
O' (ク) (焼純せるもの)	1.08	2.69	2.49	13650	14440	15330	16460	18740
P' (900°C 2時間) (焼純せるもの)	1.13	2.53	2.24	13500	14520	15520	16570	18650
Q' (ク) (焼純せるもの)	1.07	2.84	2.65	13620	14520	15350	16460	18760

4) 機械的に除去せるもの

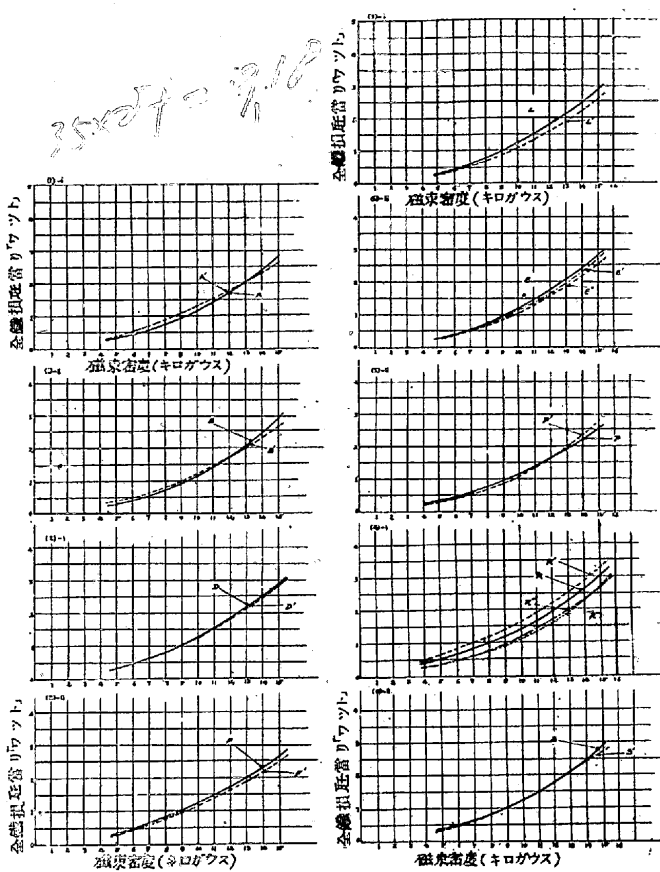
	V_{15}	V_{15}	$\frac{V_{15}}{V_{10}}$	H_{10}	H_{20}	H_{50}	H_{100}	H_{300}
R (800°C 3時間) (焼純せるもの)	1.31	3.09	2.35	13040	14220	15110	16290	18480
R' (スケールをクリアイン) (グリーダーにて削り落す)	1.61	3.26	2.02	12230	14150	15290	16650	19100
R'' (スケールを除がせる) (後600°C 4時間焼純)	1.13	2.66	2.36	13770	14600	15470	16600	18890
R''' (更に 850°C 1時間) (焼純)	1.07	2.68	2.50	13770	14490	15440	16660	18920
S (1000°C 2時間) (焼純せるもの)	1.25	2.90	2.32	13090	14310	15160	16300	18520
S' (ピンセットにて) (スケールを取除く)	1.25	2.73	2.19	13190	14320	15180	16380	18680

是等の結果より見て冷間圧延前に酸洗したるものは鐵損値は少しく高きも V_{15}/V_{10} の値は非常に良くなり焼鈍仕上後最後に酸洗滌せるものは鐵損値、誘導共に良好になり、更に此の酸洗滌後低溫度にて焼鈍する時は鐵損値更に良好になるなり。防酸ガスを注入せるものは V_{10} の鐵損値は良好なるも未だ酸洗により全くスケールを除去せるものに比し密着したる薄きスケールの爲に V_{15}/V_{10} は餘り良好ならず。是等の内最も成績の良好なるは焼鈍仕上後酸洗滌をなしたるものなるが、實際作業に當りて幅廣の大なる板を酸洗することは餘程困難なり。且酸洗作業に當り餘程注意せざる時は地肌を荒され水素をも含有し機械的性質低下の懼れあり。若し酸洗によらずして簡単にスケールを除去し得れば是に勝る事なし。依りて(4)の如くグラインダーペーパーにて軽く削り取りたるに、 V_{10} の値は機械的歪の爲に増すも V_{15}/V_{10} は著しく減少

し是れを低溫度にて焼鈍し機械歪を取る時は著しく良好になるなり。高溫にて焼鈍する時は V_{10} の値は更に減少するもスケールを再び生ずる爲に V_{15}/V_{10} は増加す。S試料の如くスケールの非常に浮きたるものをピンセットにて取り去りたるに是れには全然機械的歪の加はへざる爲 V_{10} の値

第40圖 硅素鋼板スケール除去前後に於ける鐵損曲線

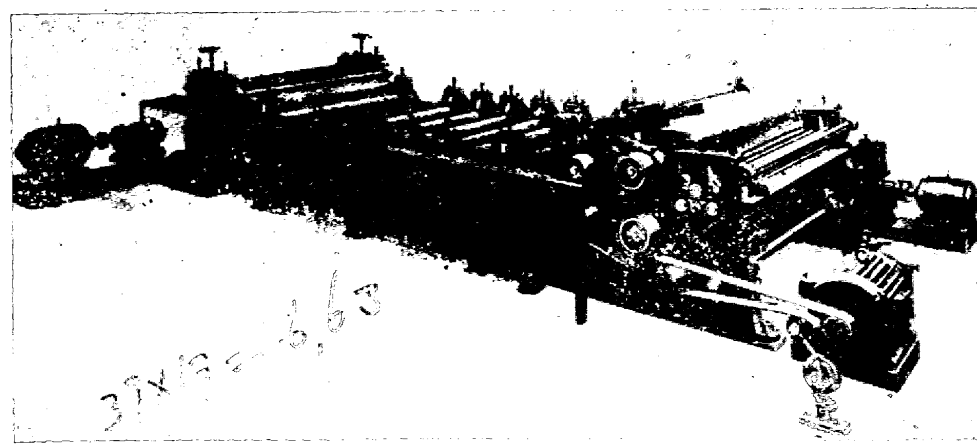
(各曲線の符號により鐵損値を参照されたし)



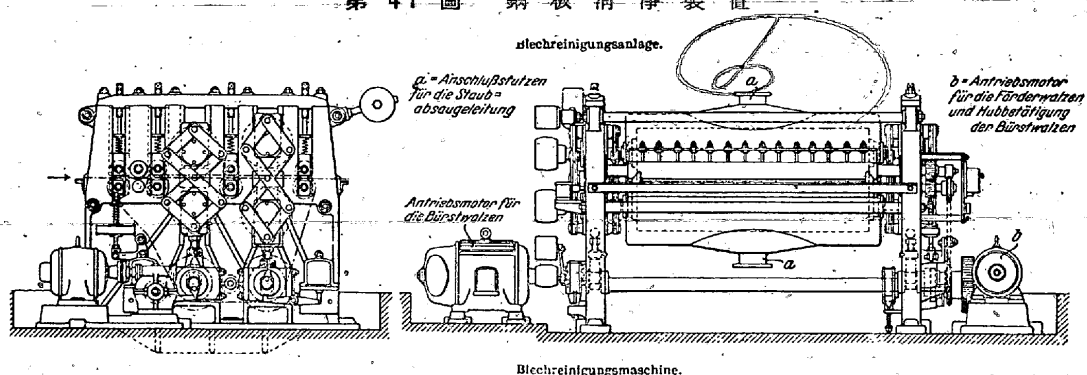
は變はらざるも V_{15} の値及 V_{15}/V_{10} は良好になりたり。且誘導値も増加せり。即機械的歪を與ふることなく除去しえば好結果を得るなり。今此處に前記成績の二、三を曲線に書きスケール除去の影響を示す。(第40圖)獨逸に於ては第41圖の如き裝置によりスケールを除去しあるものとの如し。

酸化皮膜を取り去る方法は種々あるも何れにせよ將來硅素鋼板に於て酸化皮膜皆無のもの製造し得れば電磁氣的性質に於ても且つは變壓器に於て優秀なる成績を得るなり。

第41圖 鋼板清淨裝置



第41圖 鋼板清潔装置



(注意) 本論文に報告せる實驗成績は總て珪素含有4%の同一鋼番のものに就きて行へるものなり。

8. 結 言

近時高磁束密度にて使用さる、容量大なる變壓器の設計製作に從ひ是れに使用さる珪素鋼板も高磁束密度にて鐵損の低きものを要求さる。此の要求を満たす爲には

1. 冷間壓延法により適當なる減厚をなす
2. 相當大なる減厚をなして結晶の配列を整備す
3. 燒鈍は總て電氣燒鈍爐を使用す
4. 工程の途中又は終りに酸洗滌或は他の方法により酸化皮膜を除去し皆無とす

等の方法を巧に組合すことにより特に冷間壓延には最新式冷間壓延機の進歩と共に是れが利用と結晶配列法の研究益々旺となり是れに配するにX線研究の發展とをもってすれば更に優秀なる珪素鋼板を製造し得るは近きにありと信ず。

終りに臨み終始御指導を賜り且つ發表を許可せられたる西山所長に深甚なる謝意を表す。又本研究遂行に當り電氣試験に御盡力下されし多川氏及び熱心に御助力下されし關係各位に深謝す。

文 獻

1. R. Becker-W. Döring : Ferromagnetismus Berlin 1939.
2. G. Wassermann : Texturen metallischer Werkstoff Berlin, 1939.
3. N. P. Goss. : Trans, Amer. Soc. Met. Vol 23. (1935)
4. Adolf Heitmeier : V. D. E. Fachberichte. Bd. 8. (1936)
5. John. D. Ball : G. E. Review 1916.
6. Armco Elect. Sheet Steel 1939.
7. Werkstoff Handbuch Stahl und Eisen. 1937.
8. J. T. Burwell : Metals Technology Vol. 7. (1940)
9. T. D. Yensen : Stahl und Eisen Heft. 52. 1936.
11. A. Wimmer und P. Werthebach : Stahl und Eisen Heft. 16. 1934.
12. W. Eilender und W. Oerfel : Stahl und Eisen Heft. 17. 1934.
13. K. J. Sixtus : Physics Vol. 6. 1935.
14. Spooner. : Properties and Testing of Magnetic Materials.